

## 電磁誘導現象を利用した遠隔起爆法について（その3）

関西大学工学部

正会員 谷口敬一郎

関西大学工学部

正会員 井上啓司

関西大学大学院

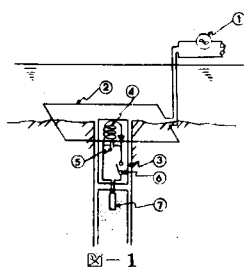
学生員 酒井秀喜

### 1. 緒論

水中破壊作業において、とくに潮流の激しい場所、水深の深い場所における船線作業や脚線・母線の断線等の問題に対処する目的で遠隔起爆法が種々検討されている。これらのうち実用の域に達しているのは超音波方式と電磁誘導方式であり、両者とも実際規模の水中破壊工事で試用され成功を修めた。起爆範囲が大きくないと作業能率、経済性はいかん般発破が有利であるが、遠隔起爆法では実用工事に例がない。そこで、室内実験で成果を得ている電磁誘導現象を利用して時間差起爆について、実際規模の現場における実火実験を行なった検討した。その結果、時間差起爆が行なえることが明らかになった。

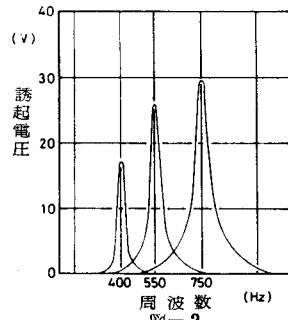
### 2. 電磁誘導式時間差起爆法の原理

図-1は、電磁誘導式時間差起爆法の概略を示すものである。  
 ①交流電流発振機により特定の周波数の電流を②励磁ループに流す。これと同調周波数を持つ③起爆素子内の④受信コイルの両端に起電力が誘起され⑤点火用コンデンサー蓄えられる。励磁電流を停止すると⑥電子スイッチにより電子的に回路が閉じ、⑦の電荷は⑧雷管に導かれ点火される。時間差起爆法は、励磁ループに電流を通電したとき、これに同調する起爆素子のみ作動して、他の同調周波数を持つ起爆素子は作動しない選択的起爆法に基づいている。



### 3. 起爆素子の性能

時間差起爆法に用いられる起爆素子は、選択周波数が 400, 550, 750 Hz の 3 種類である。1 AT/m 相当の磁場において、起爆素子内の点火用コンデンサーで誘起された起電力は、それなり 51, 80, 90 V/AT/m である。点火用コンデンサーの充電率は、本起爆法の標準的な充電時間である 60 秒充電では 3 種類のいずれの起爆素子でも飽和値の約 90% である。電磁誘導式時間差起爆法最も重要な周波数特性は図-2 に示されている。図のように周波数特性は相当鋭く、他の同調周波数により誘起される起電力は微少であり、誤動作を起すおそれはないといえる。



### 4. 実験方法および結果

実験場所は、吸出市番ノ州の埋立地内である。地表は平坦で、砂質土よりなり、地下水位は G.L. -1~2 m で、海水で飽和されている。本州四国連絡橋のようないわゆる大規模橋脚基礎工事を想定して行ったものである。起爆範囲は図-3 の破線で示された  $48 \times 71\text{m}$  であり、

KEIICHIRO-TANIGUCHI, KEIGI-INOUE, HIDEKI-SAKAI

SEEPの作業範囲を考えると励磁ループは80×120mの矩形で適当であると考えられる。

起爆範囲内の4本のボーリング孔B、O、E、dにおいて、時間差起爆の実験を行なった。実験は表-1に示されるように8回実施されたが、第1回を例にとって、その実験方法を説明する。

まず、B・O孔に550Hz用起爆素子を、D孔に400Hz用、

E孔に750Hz用を、それを中心起爆素子

の出力端子に雷管を接続して、地表下-15mの位置に設置した。第1回の実験では励磁ループに550Hz、28.7Aを通電し、60秒発振後電流を切断した。切断と同時に各起爆素子をボーリング孔から引き上げて、雷管の着火状況を確認した。その結果は表-1に示された通りである。550Hzの通電に対して、550Hz用起爆素子のみが選択的に作動した。

第2回の実験は同様な方法で750Hzを通電し、第3回は400Hzを通電した。結果は、それを中心の周波数に応じた起爆素子のみが着火した。第4回～第6回の実験は、起爆素子の配置を変更して、B孔に750Hz用、D孔に400Hz用、E・O孔に550Hz用起爆素子を設置して、第1回～第3回までと同様に実験をくり返した。この場合も、完全に選択的の着火が確かめられた。

第7回目、地表における実験で、O孔に400Hz用、E孔に550Hz用起爆素子を設置した。地表における磁界は地中におけるそれより約2倍と大きく、このような強磁界の中でも、選択的着火が可能かどうか検討したものである。結果は、550Hz用のみが着火した。

## 5. 結論

3種類の起爆素子を用い、励磁電流の周波数を変えることにより、選択的に着火する時間差起爆は可能であることが明らかになった。しかし、段発という概念からやや外れ、各段毎に時間差は70～80秒程度を要してしまった。この時間は発振周波数を変化させて行なうことによるものであるので、今後、発振周波数の改良によつて、時間差を短縮することは可能であると考えられる。

〈参考文献〉谷口敬一郎、井上啓司、酒井秀喜、田中耕雄：工業火薬協会誌、Vol.40, No.6(1979)、谷口敬一郎：工業火薬協会誌、Vol.37, No.3(1976)、谷口敬一郎：工業火薬協会誌、Vol.38, No.1, (1977)

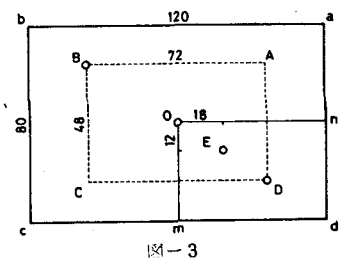


表-1

	第1回	第2回	第3回	第4回
測定点				
○：着火 ×：不着	B $f=550$ $h=15.0$ O $f=550$ $h=15.0$ E $f=750$ $h=15.0$ d $f=400$ $h=15.0$	B $f=550$ $h=15.0$ O $f=550$ $h=15.0$ E $f=750$ $h=15.0$ D $f=400$ $h=15.0$	B $f=550$ $h=15.0$ O $f=550$ $h=15.0$ E $f=750$ $h=15.0$ D $f=400$ $h=15.0$	B $f=750$ $h=15.0$ O $f=100$ $h=15.0$ E $f=550$ $h=15.0$ D $f=550$ $h=15.0$
t: プラスターの燃焼時間 (ms) h: プラスターの位置 (m)	550 4.0	750 4.0	400 1.2	400 1.2
ANT周波数 (Hz)	550	750	400	400
ANT電流 (A)	28.7	28	3.2.6	3.2.6
電磁場強度 (V)	43.6	43	44	44
燃焼時間 (A)	1.2	1.1	1.2	1.2
回路抵抗 (Ω)	2.0	2.0	2.0	2.0
治練抵抗 (Ω)	2.00	2.00	2.00	2.00
	第5回	第6回	第7回	第8回
測定点				
○：着火 ×：不着	B $f=750$ $h=15.0$ O $f=400$ $h=15.0$ E $f=550$ $h=15.0$ D $f=550$ $h=15.0$	B $f=750$ $h=15.0$ O $f=400$ $h=15.0$ E 着火なし D 着火なし	B 着火なし O 着火なし E 着火なし D 着火なし	B 着火なし O 着火なし E 着火なし D 着火なし
t: プラスターの燃焼時間 (ms) h: プラスターの位置 (m)	551 4.0	750 4.0	550 1.2	400 1.2
ANT周波数 (Hz)	551	750	550	400
ANT電流 (A)	29.6	27	29.6	3.2.6
電磁場強度 (V)	43.6	43	43.6	43.6
燃焼時間 (A)	1.2	1.4	1.2	1.2
回路抵抗 (Ω)	2.0	2.0	2.0	2.0
治練抵抗 (Ω)	2.00	2.00	2.00	2.00